

زمین‌شناسی، سنگ‌شناسی و زمین‌شیمی دگرسانی ذخیره مس پرداد، شرق شاهرود

سعید مشتاق، کمال سیاه‌چشم*، محمدرضا حسین زاده

گروه علوم زمین، دانشکده علوم طبیعی، دانشگاه تبریز، تبریز، ایران

(دریافت مقاله: ۱۴۰۲/۸/۱۵، نسخه نهایی: ۱۴۰۲/۱۱/۱۴)

چکیده: ذخیره مس پرداد در نوار آتشفشانی-رسوبی ترشیاری عباس‌آباد-کاهک در جنوب نوار افیولیتی سبزوار و در لبه شمال شرقی ایران مرکزی واقع است. برونزد واحدهای سنگی سنوزئیک شامل آندزیت، بازالت، توف‌های ریولیتی، آگلومرا و توده‌های نیمه نفوذی (تونالیتی تا کوارتز مونزونیتی) گستره وسیعی از منطقه را پوشانده است که بطور موضعی یا کامل دچار دگرسانی‌های پروپیلیتیک، سریسیتیک و هماتیتی شده‌اند. موازنه جرم در نمونه‌های با دگرسانی پروپیلیتیک اشاره به غنی‌شدگی CaO ، MgO ، Fe_2O_3 و مس دارد که با حضور سولفیدهای مس‌دار به همراه کلسیت و اپیدوت همخوانی دارد. در پهنه سریسیتیک، اکسیدهای CaO ، K_2O ، Na_2O ، MgO ، MnO ، P_2O_5 و عناصر جزئی Ba ، Sr ، Rb ، Hf ، Ta ، W ، Cr دچار کاهش جرم شده‌اند که ناشی از کلریتی‌شدن کانی‌های فرومنیزین و تخریب فلدسپار است. تهی‌شدگی عناصر خاکی نادر سنگین (HREE)‌ها در پهنه دگرسانی پروپیلیتیک می‌تواند به علت کمپلکس‌های کلریدی و غنی‌شدگی جزئی عناصر خاکی نادر سنگین (LREE)‌ها به دلیل جذب سطحی توسط کانی‌هایی چون کلریت، اپیدوت و اکسیدهای آهن باشد. غنی‌شدگی از LREE‌ها در دگرسانی سریسیتیک ناشی از تثبیت این عناصر در کانی‌های اولیه آپاتیت، اسفن و زیرکن است. افزایش عناصر Co ، Ni ، V ، Ag و As در پهنه هماتیتی می‌تواند ناشی از پدیده جذب سطحی فلزها بر سطوح کانی‌های اکسیدی آهن باشد.

واژه‌های کلیدی: موازنه جرم؛ عناصر خاکی نادر؛ دگرسانی؛ پهنه سبزوار؛ پرداد.

مقدمه

دگرسانی‌ها، بررسی غنی‌شدگی و تهی‌شدگی هر یک از عناصر اصلی، فرعی و کمیاب در انواع دگرسانی‌هاست. ترکیب شیمیایی سنگ‌های دگرسان شده نشان دهنده تغییرات شیمیایی و ترکیب رخ داده در انواع دگرسانی‌هاست که به درک بهتر فرآیندهای دگرسانی کمک می‌کند. الگوهای تغییرات دگرسانی درون‌زاد اغلب در پی‌جویی مواد معدنی برای تعیین هاله‌های شیمیایی و یافتن روندهای شیمیایی در مناطق کانه-زایی استفاده می‌شود [۱]. تغییرات زمین‌شیمیایی درون‌زاد، افزون بر تشخیص اهداف معدنی و کانه‌زایی، به گسترش بهتر مدل‌های زایشی و تفکیک بهتر انواع مدل‌های کانساری نیز کمک می‌کند [۲]. به تازگی با بررسی زمین‌شیمی عناصر خاکی نادر، اطلاعات بسیار جامعی پیرامون فرایندهای دخیل

نوار آتشفشانی-رسوبی سبزوار تا شاهرود دربردارنده توالی ضخیمی از سنگ‌های آندزیتی-بازالتی به همراه سنگ‌های رسوبی و آذرآواری است. کانه‌زایی مس پرداد نیز بخشی از این نوار آتشفشانی-رسوبی محسوب می‌شود (شکل ۱). تاکنون بررسی جامعی بر زمین‌شیمی عناصر اصلی، فرعی و خاکی نادر در پهنه‌های دگرسانی منطقه از دیدگاه تغییرات جرمی انجام نشده است. تحلیل زمین‌شیمیایی تغییرات عنصری در سنگ-های دگرسان شده در ارتباط با نهشته‌های معدنی کمک شایانی به درک چگونگی دگرگونی سیال کانه‌دار نموده و قلمروی زمین‌شیمیایی انواع پهنه‌های دگرسانی و سنگ میزبان سالم را از هم تفکیک می‌کند. یکی از زمینه‌های پژوهش پیرامون

*نویسنده مسئول، تلفن: ۰۹۱۴۱۰۰۴۶۸۵، پست الکترونیکی: kl_siahcheshm@tabrizu.ac.ir

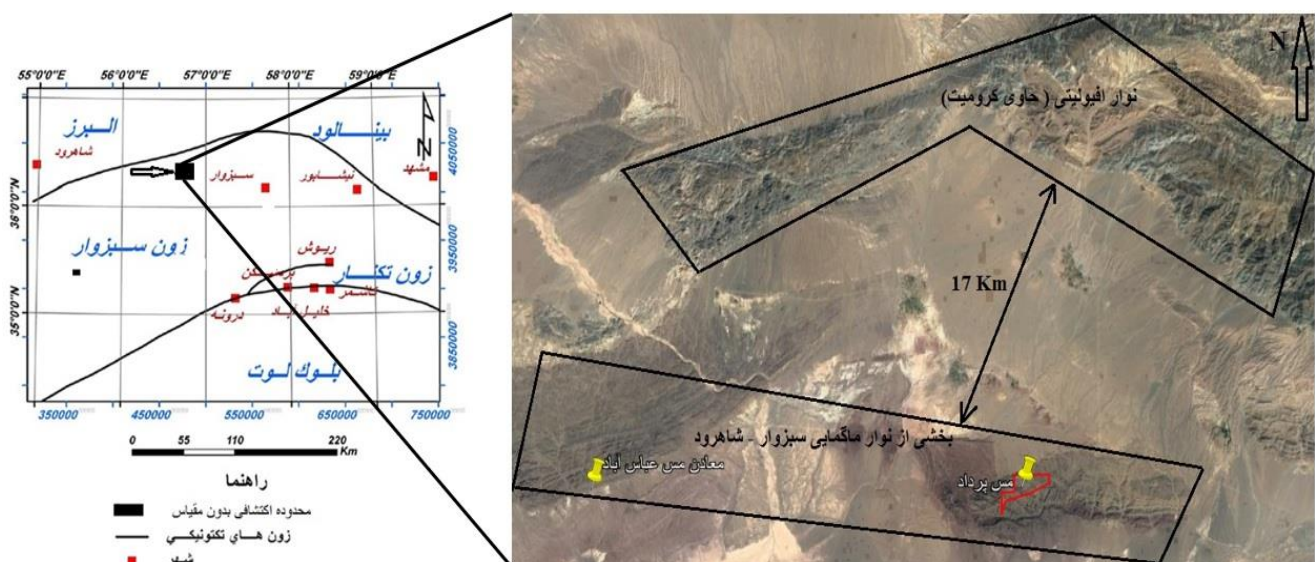
صحرايي و بررسي ويژگي‌هاي زمين‌ساختاري، دگرشكلي و دگرساني قابل تشخيص در منطقه، نقشه زمين‌شناسي به مقياس ۱:۲۵۰۰۰ تهيه گرديد (شکل ۲). عمده واحدهاي سنگي منطقه شامل شامل برونزدهاي سنوزئیک، آتشفشاني و در عمق سنگ‌هاي نيمه نفوذی هستند، اين منطقه از محدود مناطق گسترش سنگ‌هاي آتشفشاني - نفوذی شرق و مرکز ايران است که روند مشخص و پيوسته را نشان داده و مجموعه متنوعي از سنگ‌هاي آذرین شامل آندزیت، پیروکسن آندزیت، آندزیت بازالت، بازالت دگرسان شده، توف ریولیتی، توف‌هاي آندزیتی، لاتیت، تراکی آندزیت، لاپیلی توف و آگلومرا را در برمي‌گیرد که توده‌ها و گنبد‌هاي شبه آتشفشاني اسیدی و حدواسط (تونالیتی تا کوارتز مونزونیتی) در آنها نفوذ کرده‌اند. مجموعه افیولیتی همراه اين نوار ماگمایی بیشتر در بخش‌هاي شمالي آن برونزد دارد و مناطق مرتفعی را تشكيل داده است. در دوران ترشیری در پهنه ساختاری ايران مرکزی فعاليت‌هاي ماگمایی بسياری انجام شده که نتیجه آن ايجاد نوار آتشفشاني عباس آباد - کاهک در جنوب نوار افیولیتی سبزوار و لبه شمال شرقی ايران مرکزی است (شکل ۱).

در تشکيل و گسترش پهنه‌هاي دگرساني توسط پژوهشگران مختلف ارائه شده است. اين عناصر می‌توانند در شرايط ويژه pH پايين، نسبت بالای آب به سنگ و فراواني ليگاندهاي کمپلکس‌ساز چون F^- ، Cl^- ، CO_3^{2-} ، SO_4^{2-} و PO_4^{3-} به حرکت در آیند [۳]. تغييرات pH و دمای محلول‌هاي مسئول دگرساني را می‌توان از مهم‌ترين عوامل کنترل‌کننده توزيع، تحرک و غنی‌شدگی عناصر خاکی نادر در پهنه‌هاي دگرساني در نظر گرفت.

در اين پژوهش افزون بر زمين‌شناسی و سنگ‌شناسی منطقه، زمين شیمیایی عناصر اصلی - فرعی و همچنین عناصر خاکی نادر در دگرساني‌هاي موجود در کانسار مس پرداد با روش موازنه جرم بررسی شده است.

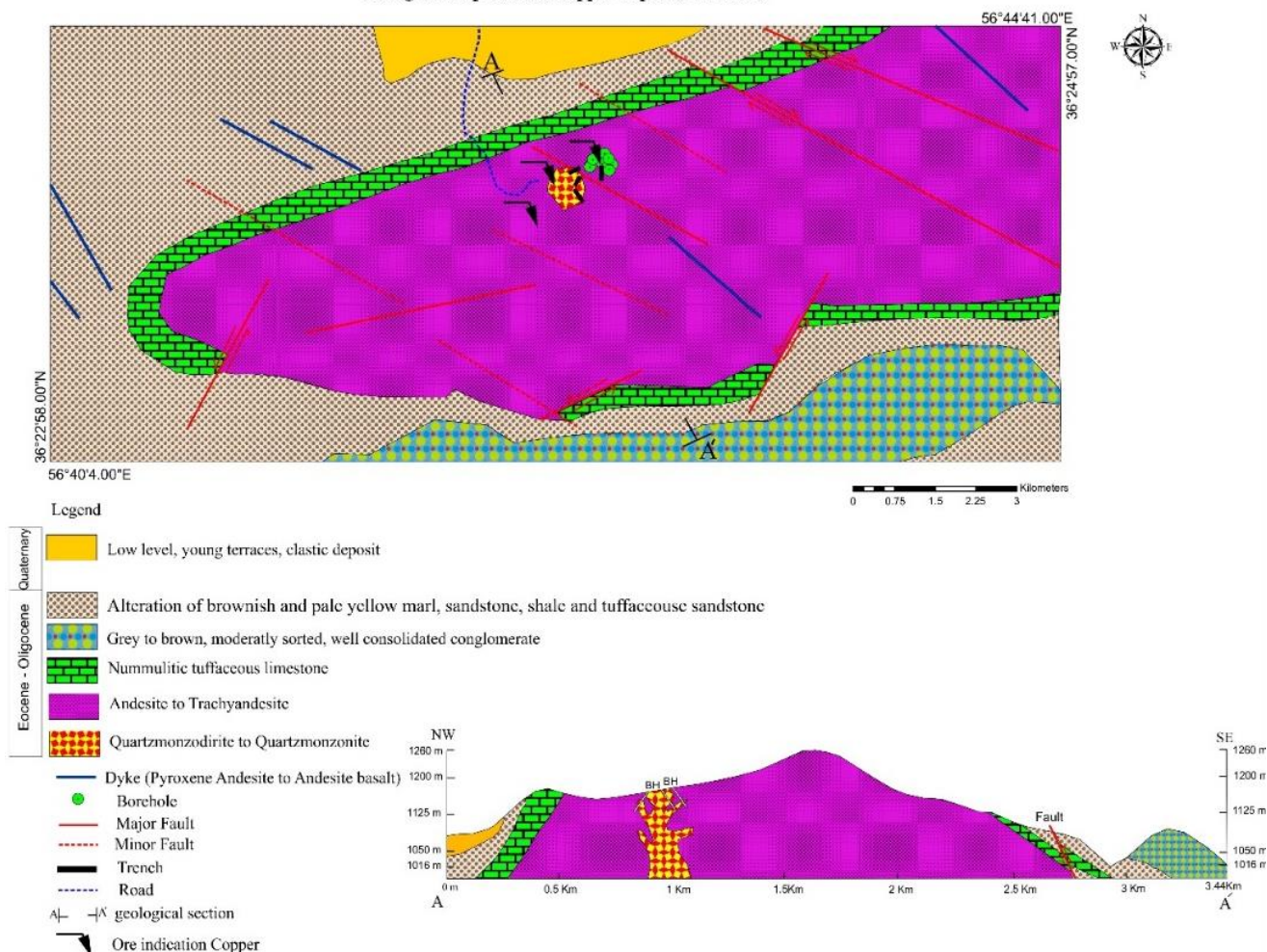
زمین‌شناسی منطقه

منطقه معدنی مس پرداد در ۱۶۰ کیلومتری شرق شاهرود در استان سمنان با طول جغرافیایی $40^{\circ} 40' 41''$ تا $56^{\circ} 41' 44''$ شرقی و عرض جغرافیایی $36^{\circ} 22' 58''$ تا $36^{\circ} 24' 57''$ شمالی و در بخش شمالی نقشه زمين‌شناسی ۱:۱۰۰۰۰۰ داورزن [۴] واقع است. در اين پژوهش، پس از پيمایش‌هاي



شکل ۱ تصویر ماهواره‌ای از موقعیت پهنه افیولیتی سبزوار و بخشی از نوار ماگمایی - آتشفشانی سبزوار - شاهرود.

Geological Map 1:25000 Copper Deposits of Pardad



شکل ۲ نقشه زمین شناسی ۱:۲۵۰۰۰ منطقه معدنی مس پرداد.

بینالود تهران ارسال شدند (جدول ۱-۳).

نتایج و بحث

سنگ‌نگاری سنگ‌های آتشفشانی - نیمه نفوذی منطقه

سنگ‌های آتشفشانی: براساس بازدیدهای صحرایی و نمودارگیری مغزه‌های حفاری، عمده واحدهای سنگ‌شناسی، در اصل برونزد سنگ‌های آتشفشانی با ضخامت ۶۰۰ تا ۸۰۰ متر، دارای راستای ۲۹۰-۳۰۰ درجه (شمال غرب- جنوب شرق)، و گسترش جانبی به طول ۵ کیلومتر هستند. سنگ‌های آتشفشانی منطقه دارای ترکیب آندزیت تا تراکی آندزیت، پیروکسن آندزیت به همراه توف با برش آتشفشانی هستند. این سنگ‌ها دارای کانی‌های اصلی پلاژیوکلاز سدیمی (۱۵ تا ۳۵ درصد حجمی) با منطقه بندی ترکیبی، بلورهای نیمه شکل‌دار تا بی‌شکل کوارتز در خمیره ریز بلور تا نهان بلورین کوارتز - فلدسپار هستند. کانی‌های فرعی شامل بیوتیت، پیروکسن، زیرکن، آپاتیت و کانی تیره مگنتیت هستند که گاهی صورت

روش بررسی

در راستای دستیابی به اهداف موردنظر طی چندین مرحله پیمایش صحرایی، شناسایی دگرسانی‌ها و سنگ‌نگاری، از پهنه‌های دگرسانی، سنگ‌های آتشفشانی - نیمه نفوذی ۵۰ نمونه سطحی و عمقی (گمانه‌ها) برداشت شد. به منظور بررسی ویژگی‌های زمین شیمیایی پهنه‌های دگرسان شده و بررسی تغییرات جرم طی دگرسانی، ۹ نمونه از سنگ‌های آتشفشانی و نیمه نفوذی با کمترین دگرسانی، ۹ نمونه دگرسان شده، ۳ نمونه مربوط به دگرسانی پروپلیتیک، ۳ نمونه مربوط به دگرسانی سیرسیتیک و ۳ نمونه مربوط به دگرسانی هماتیتی انتخاب شدند. نمونه‌ها برای تجزیه شیمیایی به روش‌های طیف‌سنجی فلورسانس پرتوی ایکس (XRF) و طیف‌سنجی جرمی پلاسمای جفت شده القایی (ICP-MS) به ترتیب برای تعیین غلظت عناصر اصلی و خاکی نادر به آزمایشگاه کانساران

درشت بلور (به اندازه ۰/۲ تا ۰/۴ میلی متر) در زمینه دیده می‌شود. بافت‌های پورفیری، گلوپورفیری، ریزسنگی پورفیری، ریزسنگی پورفیری و در بعضی بخش‌ها در زمینه بافت جریان‌ی و ریزسنگی دیده می‌شوند.

جدول ۱ موازنه جرم در دگرسانی پروپیلیتیک محاسبه شده بر حسب جزء نام‌تحرک Al_2O_3 (اکسیدها بر حسب %، عناصر بر حسب ppm).

	پروپیلیتیک PA-P-01	پروپیلیتیک PA-P-02	پروپیلیتیک PA-P-03	میانگین دگرسانی پروپیلیتیک	میانگین نمونه مرکب (سالمت)	$\Delta C_i / C_i$
SiO ₂	۴۳.۳۳	۴۶.۹۴	۴۴.۷۳	۴۵	۵۷.۰۶	-۰/۱۱
Al ₂ O ₃	۱۵.۷۸	۱۶.۰۶	۱۵.۳۳	۱۵.۲۷	۱۵.۷۵	۰
Fe ₂ O ₃	۱۴.۴۱	۱۳.۰۸	۱۰.۵۲	۱۲.۶۷	۶.۸۷	۱/۰۸
CaO	۱۰.۵۹	۹.۷۹	۱۰.۰۶	۱۰/۱۵	۵.۳۸	۱/۱۳
Na ₂ O	۲/۳۵	۳/۳۱	۲/۳۹	۲/۶۸	۲.۶۵	-۰/۱۴
K ₂ O	۱/۵۳	۱/۱۷	۱/۲۱	۱/۳۰	۴.۵۳	-۰/۶۷
MgO	۴/۰۵	۳/۳۳	۴/۸۳	۴/۰۷	۲/۷۴	-۰/۶۸
TiO ₂	۰/۳۵	۰/۴۲	۰/۴۹	۰/۴۲	۰/۶۰	-۰/۲۰
MnO	۰/۰۷	۰/۰۵	۰/۰۹	۰/۰۷	۰/۱۰	-۰/۲۴
P ₂ O ₅	۰/۲۰	۰/۱۸	۰/۲۳	۰/۲۰	۰/۳۵	-۰/۳۶
مواد فرار (L.O.I)	۵/۴۷	۵/۰۷	۸/۶۵	۶/۴۰	۱/۷۹	۳/۰۴
Ag	۱/۵۲	۰/۰۷	۳/۰۵	۱/۵۵	۰/۰۵	۳۱/۶۴
As	۴۳	۲۱	۱۱	۲۵	۱۰/۱۳	۱/۷۹
Ba	۷۹/۴۰	۳۹/۲۰	۲۵/۳۰	۴۷/۹۷	۳۴۶/۸۲	-۰/۸۴
Be	۱۰/۵۱	۴/۴۱	۳/۶۰	۶/۱۷	۲/۱۷	۲/۲۲
Bi	۰/۰۶	۰/۰۶	۰/۰۵	۰/۰۶	۰/۰۶	-۰/۱۹
Co	۰/۱۶	۰/۰۲	۷/۶۱	۲/۶۰	۰/۱۱	۲۵/۹۲
Cr	۱۰	۱۳	۱۶	۱۳	۱۴/۷۳	۰
Cs	۰/۶۱	۰/۵۱	۰/۴۹	۰/۵۴	۱/۵۵	-۰/۶۱
Cu	>٪۱	۱۴۹۹/۱۰	۹۸۱۴/۸۰	۵۶۵۶/۹۵	۹۲/۴۲	۶۸/۰۵
Hf	۲/۰۱	۱/۹۳	۲/۲۵	۲/۰۶	۳/۴۵	-۰/۳۲
Li	۱۶	۱۲	۱۷	۱۵	۱۳/۶۳	-۰/۲۴
Mn	۱۰/۴۷	۸/۵۵	۱۱/۴۷	۱۰/۱۶/۳۳	۱۰/۵۶/۱۵	-۰/۰۹
Mo	۳/۰۲	۰/۱۰	۱/۷۴	۱/۶۲	۳/۴۶	-۰/۴۷
Nb	۰/۳۷	۱	۰/۶۴	۰/۶۷	۰/۵۸	-۰/۳۰
Ni	۱۱	۱۸	۱۴	۱۴/۳۳	۱۱/۳۳	-۰/۴۳
Pb	۲۱	۲۶/۶۰	۱۲/۱۰	۱۹/۹۰	۱۲/۱۴	-۰/۸۵
Rb	۲۱	۲۶/۶۰	۱۲/۱۰	۱۹/۹۰	۶۵/۴۴	-۰/۷۶
S	۶۵/۶۹	۲۰/۲	۲۵/۲۱	۳۰/۹۷/۳۳	۴۴/۳۰	۷۷/۹۳
Sb	۰/۰۸	۰/۰۶	۰/۰۴	۰/۰۶	۱/۱۱	-۰/۹۴
Sc	۷/۳۰	۸	۸/۸۰	۸/۰۸	۱۲/۱۶	-۰/۲۵
Sn	۰/۰۴	۰/۰۶	۰/۰۳	۰/۰۴	۰/۱۷	-۰/۷۲
Sr	۱۸۵/۹۰	۱۷۱/۳۰	۱۵۵/۵۰	۱۷۰/۹۰	۶۴۵/۱۳	-۰/۷۰
Ta	۰/۶۹	۰/۶۷	۰/۶۷	۰/۶۸	۰/۸۲	-۰/۰۵
Te	۱/۹۸	۱/۸۰	۱/۶۶	۱/۸۱	۱/۷۴	-۰/۱۸
Th	۳/۵۲	۳/۹۵	۴/۵۶	۴/۰۱	۶/۶۷	-۰/۳۲
Ti	۲۵۵۲	۳۰/۱۰	۳۴۶۹	۳۰/۱۰/۳۳	۴۸۴۱/۸۸	-۰/۳۰
Tl	۰/۵۵	۰/۰۲	۰/۳۵	۰/۳۱	۰/۰۹	۲/۹۲
U	۱/۵۸	۱/۷۴	۲/۲۸	۱/۸۷	۱/۵۲	-۰/۳۸
V	۱/۵۶	۱/۱۰	۱/۲۱	۱/۲۹	۱۵۳/۳۰	-۰/۰۵
W	۱/۷۶	۰/۸۳	۰/۲۶	۰/۹۵	۰/۱۹	۴/۶۸
Y	۱۹/۸۰	۱۲/۸۰	۱۴/۹۰	۱۵/۸۳	۲۱/۶۷	-۰/۱۸
Zn	۶۲/۵۰	۹۰/۸۰	۶۸/۶۰	۷۳/۹۷	۹۵/۲۴	-۰/۱۲
Zr	۱۹۰	۹۸	۱۰۱	۱۲۹/۶۷	۱۳۷/۲۵	-۰/۰۷
La	۲۷/۷	۱۶/۴	۲۰/۵	۲۱/۵۳	۲۳/۸۲	-۰/۰۲
Ce	۴۶	۲۷/۷	۳۷/۸	۳۷/۱۷	۴۸/۶۳	-۰/۱۴
Pr	۵/۶۷	۴/۳۷	۵/۱۶	۵/۰۷	۶/۴۴	-۰/۱۱
Nd	۸/۳	۵/۴	۵/۵۳	۶/۴۱	۱۴/۲۰	-۰/۴۹
Sm	۳/۴۵	۲/۸۶	۳/۱۳	۳/۱۵	۵/۰۳	-۰/۲۹
u	۱/۱۲	۰/۹۴	۰/۹۵	۱	۱/۵۷	-۰/۲۸
Gd	۲/۹۹	۲/۳۶	۲/۶۷	۲/۶۷	۳/۷۵	-۰/۲۰
Tb	۰/۵۷	۰/۴۲	۰/۴۷	۰/۴۹	۰/۸۰	-۰/۳۲
Dy	۱/۸۷	۱/۰۱	۱/۳۳	۱/۴۰	۲/۷۵	-۰/۴۲
Ho	۰/۵۴	۰/۳۲	۰/۳۹	۰/۴۲	۰/۶۶	-۰/۲۸
Er	۱/۵۷	۰/۸۶	۰/۷۱	۰/۰۵	۱/۶۶	-۰/۲۹
Tm	۰/۳۹	۰/۱۸	۰/۲۲	۰/۲۶	۰/۳۳	-۰/۱۰
Yb	۱/۶۶	۰/۷	۰/۶۱	۰/۹۹	۱/۲۶	-۰/۱۱
Lu	۰/۳۶	۰/۱۷	۰/۱۹	۰/۲۴	۰/۲۸	-۰/۰۲

جدول ۲ موازنه جرم در دگرسانی سریسیتیک محاسبه شده برحسب جزء نامتحرک Al_2O_3 . (اکسیدها برحسب %، عناصر بر حسب ppm).

	سریسیتیک CA-C-01	سریسیتیک CA-C-02	سریسیتیک CA-C-03	میانگین دگرسانی سریسیتیک	میانگین نمونه مرکب (سنگ سالم)	$\Delta C_i / C_i^0$
SiO ₂	۵۸,۸۷	۵۶,۴۱	۶۰,۶	۵۸,۶۳	۵۷,۰۶	۰,۰۵
Al ₂ O ₃	۱۶,۷۳	۱۷,۴۰	۱۷,۷۹	۱۷,۳۱	۱۷,۷۵	۰
Fe ₂ O ₃	۸,۴۱	۷,۴۸	۵,۴۸	۷,۱۲	۶,۸۷	۰,۰۶
CaO	۴,۴۶	۵,۳۵	۵,۵	۴,۹۶	۵,۳۸	-۰,۰۵
Na ₂ O	۱,۶۱	۱,۷	۱,۲۳	۱,۵۱	۲,۶۵	-۰,۴۱
K ₂ O	۳,۴	۳,۶۲	۳,۸۴	۳,۶۲	۴,۵۳	-۰,۱۸
MgO	۲,۶۴	۲,۷۲	۲,۱۱	۲,۴۹	۲,۷۴	-۰,۰۷
TiO ₂	۰,۶۳	۰,۶۲	۰,۶۲	۰,۶۲	۰,۶۰	۰,۰۷
MnO	۰,۰	۰,۱	۰,۱	۰,۰۷	۰,۱۰	-۰,۳۰
P ₂ O ₅	۰,۲۶	۰,۳۶	۰,۳۵	۰,۳۲	۰,۳۵	-۰,۰۶
L.O.I	۳,۵۰	۵,۷۶	۴,۶۹	۴,۶۵	۱,۷۹	۱,۶۷
Ag	۰,۰۵	۰,۰۳	۰,۰۷	۰,۰۵	۰,۰۵	-۰,۰۴
As	۸	۲۱	۱۲	۱۳,۶۷	۱۰,۱۳	۰,۳۸
Ba	۳۴۴	۱۶۶	۲۸۵,۴۰	۲۶۵,۱۳	۳۴۶,۸۲	-۰,۲۲
Be	۲,۶۰	۲,۰۸	۲,۶۸	۲,۴۵	۲,۱۷	۰,۱۶
Bi	۰,۰۲	۰,۰۹	۰,۰۹	۰,۰۷	۰,۰۶	۰,۲۰
Co	۰,۵۴	۰,۰۴	۰,۰۴	۰,۲۱	۰,۱۱	۰,۹۵
Cr	۱۱	۹	۱۴	۱۱,۳۳	۱۴,۷۳	-۰,۲۱
Cs	۲,۵۲	۱,۱۶	۲,۸۷	۲,۱۸	۱,۵۵	۰,۴۵
Cu	۵۷۲,۸۰	۴۲۶,۹۰	۱۳۳۹,۹۰	۷۷۹,۸۷	۹۲,۴۹	۷,۶۵
Hf	۳,۲۰	۲,۶۸	۲,۹۴	۲,۹۴	۳,۴۵	-۰,۱۳
Li	۱۲	۱۵	۹	۱۲	۱۳,۶۳	-۰,۱۰
Mn	۸۹۴	۱۰۰۵	۷۷۲	۸۹۰,۳۳	۱۰۵۶,۱۵	-۰,۱۴
Mo	۵,۵۷	۵,۲۸	۳,۷۸	۴,۸۸	۳,۴۶	۰,۴۵
Nb	۰,۰۵	۰,۴۹	۰,۵۳	۰,۳۶	۰,۵۸	-۰,۳۷
Ni	۱۲	۱۱	۱۵	۱۲,۶۷	۱۱,۳۳	۰,۱۵
Pb	۷,۵۵	۷,۷۷	۵,۷۵	۷,۰۲	۱۲,۱۴	-۰,۴۱
Rb	۶۶,۱۰	۴,۵۹	۵۲,۶۰	۴۱,۱۰	۹۵,۴۴	-۰,۵۶
S	۱۴۶	۹۶	۸۸	۱۱۰	۴۴,۳۰	۱,۵۵
Sb	۰,۰۵	۰,۰۳	۰,۰۴	۰,۰۴	۱,۱۱	-۰,۹۶
Sc	۱۲,۱۰	۱۱,۸۰	۱۱,۵۰	۱۱,۸۰	۱۲,۱۶	-۰,۰۱
Sn	۰,۷۸	۰,۰۳	۰,۰۸	۰,۳۰	۰,۱۷	۰,۷۴
Sr	۳۶۵,۱۰	۳۷۶,۷۰	۳۰۷,۹۰	۳۴۹,۹۰	۶۴۵,۱۳	-۰,۴۴
Ta	۰,۷۱	۰,۶۹	۰,۷۳	۰,۷۱	۰,۸۲	-۰,۱۱
Te	۲,۲۰	۱,۷۷	۱,۶۴	۱,۹۰	۱,۷۴	۰,۱۲
Th	۶,۶۱	۶,۰۸	۵,۸۱	۶,۱۷	۶,۶۷	-۰,۰۵
Ti	۴۹۱۴	۴۶۵۸	۴۵۲۴	۴۶۹۸,۶۷	۴۸۴۱,۸۸	۰
Tl	۰,۱۴	۰,۱۰	۰,۲۱	۰,۱۵	۰,۱۹	۰,۷۴
U	۱,۸۳	۱,۵۲	۱,۸۲	۱,۷۲	۱,۵۲	۰,۱۶
V	۱۴۷	۱۴۰	۱۴۴	۱۴۳,۶۷	۱۵۳,۲۰	-۰,۰۴
W	۰,۳۸	۰,۰۶	۰,۰۲	۰,۱۵	۰,۱۹	-۰,۱۷
Y	۲۱,۲۰	۲۴,۵۰	۲۲,۶۰	۲۲,۷۷	۲۱,۶۷	۰,۰۸۸
Zn	۱۱۴,۶۰	۱۴۴,۳۰	۱۲۵,۷۰	۱۲۸,۲۰	۹۵,۲۴	۰,۳۸
Zr	۱۴۰	۱۲۹	۱۲۷	۱۳۲	۱۳۷,۲۵	-۰,۰۱
La	۲۲,۴	۲۴,۷	۲۲,۱	۲۳,۰۷	۲۳,۸۲	-۰,۰۱
Ce	۴۵,۵	۵۰	۴۳,۳	۴۶,۲۷	۴۸,۶۳	-۰,۰۲
Pr	۶,۲۲	۶,۴۵	۵,۸۹	۶,۱۹	۶,۴۴	-۰,۰۲
Nd	۱۳,۳	۱۳,۵	۱۱,۴	۱۲,۷۳	۱۴,۲۰	-۰,۰۸
Sm	۴,۸۴	۴,۵۲	۴,۵۹	۴,۶۵	۵,۰۳	-۰,۰۵
Eu	۱,۵۱	۱,۳۴	۱,۳۹	۱,۴۱	۱,۵۷	-۰,۰۸
Gd	۳,۶۴	۳,۷۹	۳,۶	۳,۶۸	۳,۷۵	۰,۰۱
Tb	۰,۷۶	۰,۷۶	۰,۷۳	۰,۷۵	۰,۸۰	-۰,۰۴
Dy	۲,۴۹	۲,۵۲	۲,۵	۲,۵۰	۲,۷۵	-۰,۰۷
Ho	۰,۶۱	۰,۶۳	۰,۶۱	۰,۶۲	۰,۶۶	-۰,۰۴
Er	۱,۴۵	۱,۶۴	۱,۴۸	۱,۵۲	۱,۶۶	-۰,۰۶
Tm	۰,۳۱	۰,۳۴	۰,۳۱	۰,۳۲	۰,۳۳	۰
Yb	۱,۱۳	۱,۳۷	۱,۱۹	۱,۲۳	۱,۲۶	۰
Lu	۰,۲۵	۰,۳	۰,۲۷	۰,۲۷	۰,۲۸	۰,۰۲

جدول ۳ موازنه جرم در دگرسانی هماتیته محاسبه شده برحسب جزء نامتحرک Al_2O_3 . (اکسیدها برحسب %، عناصر بر حسب ppm).

	هماتیته HA-H-01	هماتیته HA-H-02	هماتیته HA-H-03	میانگین دگرسانی هماتیته	میانگین نمونه مرکب (سنگ سالم)	$\Delta C_i / C_i^0$
SiO ₂	۲۸,۰۹	۴۵,۷۸	۳۷,۴۴	۳۷,۱۰	۵۷,۰۶	-۰,۱۸
Al ₂ O ₃	۱۵,۷۲	۱۴,۶۹	۱۱,۸۷	۱۴,۰۹	۱۷,۷۵	۰
Fe ₂ O ₃	۳۶,۵۳	۱۶,۳۷	۲۳,۴۶	۲۵,۴۵	۶,۸۷	۳,۶۷
CaO	۱۱,۳۷	۹,۵۵	۱۲,۶	۱۱,۱۷	۵,۳۸	۱,۶۲
Na ₂ O	۱,۰۸	۲,۷۴	۱,۷۶	۱,۸۶	۲,۶۵	-۰,۱۲
K ₂ O	۰,۵۸	۱,۴۶	۰,۷	۰,۷۰	۴,۵۳	-۰,۸۰
MgO	۰,۹	۳,۱۷	۰,۵	۱,۵۲	۲,۷۴	-۰,۳۰
TiO ₂	۰,۲۱	۰,۵۱	۰,۲۸	۰,۳۳	۰,۶۰	-۰,۲۹
MnO	۰,۰۴	۰,۰۶	۰,۰۳	۰,۰۴	۰,۱۰	-۰,۴۵
P ₂ O ₅	۰,۱۸	۰,۲۱	۰,۲۸	۰,۲۲	۰,۳۵	-۰,۲۱
L.O.I	۴,۵۸	۴,۶۸	۱۰,۷۱	۶,۶۶	۱,۷۹	۳,۶۹
Ag	۰,۳۵	۰,۹۲	۰,۱۰	۰,۴۶	۰,۰۵	۹,۷۵
As	۷۲	۴۹	۳۳	۵۱,۳۳	۱۰,۱۳	۵,۳۹
Ba	۲۵,۹۰	۵۵,۵۰	۳۶,۳۰	۳۹,۲۳	۳۴۶,۸۲	-۰,۸۶
Be	۱۰,۷۳	۶,۲۳	۱۰,۷۵	۹,۲۴	۲,۱۷	۴,۳۷
Bi	۰,۰۹	۰,۰۷	۰,۰۹	۰,۰۸	۰,۰۶	۰,۸۴
Co	۰,۰۷	۰,۰۲	۳,۳۰	۱,۱۳	۰,۱۱	۱۲,۰۷
Cr	۱۸	۱۱	۱۳	۱۴	۱۴,۷۳	۰,۲۰
Cs	۰,۴۹	۰,۵۰	۰,۶۱	۰,۵۳	۱,۵۵	-۰,۵۷
Cu	۵۲۱۷,۳۰	۳۷۹۵,۶۰	۷۱۶۴,۲۰	۵۳۹۲,۳۷	۹۲,۴۹	۷۲,۴۵
Hf	۰,۷۹	۲,۳۰	۱,۱۲	۱,۴۰	۳,۴۵	-۰,۴۹
Li	۴	۱۱	۷	۷,۳۳	۱۳,۶۳	-۰,۳۲
Mn	۶۳۷	۸۶۸	۵۰۳	۶۶۹,۳۳	۱۰۵۶,۱۵	-۰,۲۰
Mo	۴,۸۴	۳,۱۳	۶,۹۲	۴,۹۶	۳,۴۶	۰,۸۱
Nb	۰,۵۱	۰,۴۳	۰,۴۵	۰,۴۶	۰,۵۸	۰,۰۱
Ni	۱۱	۱۵	۱۰	۱۲	۱۱,۳۳	۰,۳۳
Pb	۲۰	۱۲	۱۰,۱۰	۱۴,۰۳	۱۲,۱۴	۰,۴۶
Rb	۲۰	۱۲	۱۰,۱۰	۱۴,۰۳	۹۵,۴۴	-۰,۸۱
S	۳۰,۸	۱۴۷	۸۰,۲	۴۱۹	۴۴,۳۰	۱,۹۲
Sb	۱۱,۲۸	۰,۰۳	۴,۵۵	۵,۲۹	۱,۱۱	۴,۹۸
Sc	۳,۹۰	۸,۸۰	۵,۵۰	۶,۰۷	۱۲,۱۶	-۰,۳۷
Sn	۰,۰۴	۰,۰۹	۰,۰۳	۰,۰۵	۰,۱۷	-۰,۶۱
Sr	۱۳۶,۹۰	۲۱۷,۵۰	۷۹,۷۰	۱۴۴,۷۰	۶۴۵,۱۳	-۰,۷۲
Ta	۰,۵۸	۰,۷۸	۰,۶۴	۰,۶۷	۰,۸۲	۰,۰۳
Te	۲,۳۵	۱,۸۷	۲,۶۱	۲,۲۸	۱,۷۴	۰,۶۵
Th	۱,۷۰	۴,۳۵	۲,۴۳	۲,۸۳	۶,۶۸	-۰,۴۷
Ti	۱۳۵۴	۳۵۶۳	۲۱۲۱	۲۳۴۶	۴۸۴۱,۸۸	-۰,۳۹
Tl	۰,۰۸	۰,۰۲	۰,۰۸	۰,۰۶	۰,۰۹	-۰,۱۴
U	۲,۷۳	۱,۷۴	۲,۲۶	۲,۲۴	۱,۵۲	۰,۸۵
V	۱۷۳	۱۳۳	۱۲۲	۱۴۲,۶۷	۱۵۳,۳۰	۰,۱۷
W	۱۷,۸۰	۶,۸۴	۱۳,۶۰	۱۲,۷۵	۰,۱۹	۸۴,۰۷
Y	۱۳,۳۰	۱۴,۹۰	۱۲,۹۰	۱۳,۷۰	۲۱,۶۷	-۰,۲۰
Zn	۶۴,۶۰	۹۷	۳۰,۴۰	۶۴	۹۵,۲۴	-۰,۱۵
Zr	۷۵	۱۰۴	۶۹	۸۲,۶۷	۱۳۷,۲۵	-۰,۲۴
La	۲۹,۶	۱۹,۸	۱۰,۸	۲۰,۰۷	۲۳,۸۲	۰,۰۶
Ce	۳۷,۹	۳۲,۴	۱۸,۸	۲۹,۷۰	۴۸,۶۳	-۰,۲۳
Pr	۴,۷	۴,۷۲	۳,۴۸	۴,۳۰	۶,۴۴	-۰,۱۶
Nd	۶,۲۹	۶,۷۹	۴,۰۹	۵,۷۲	۱۴,۲۰	-۰,۴۹
Sm	۲,۵۱	۳,۱۱	۲,۰۱	۲,۵۴	۵,۰۳	-۰,۳۶
Eu	۰,۸۲	۰,۹۲	۰,۶۸	۰,۸۱	۱,۵۷	-۰,۳۵
Gd	۲,۲۶	۲,۵	۱,۷۵	۲,۱۷	۳,۷۵	-۰,۲۷
Tb	۰,۴	۰,۴۸	۰,۲۷	۰,۳۸	۰,۸۰	-۰,۴۰
Dy	۱	۱,۳۹	۰,۴۹	۰,۹۶	۲,۵۷	-۰,۵۶
Ho	۰,۳۸	۰,۴۱	۰,۲۶	۰,۳۵	۰,۶۶	-۰,۳۳
Er	۰,۹۱	۰,۷۴	۰,۳۱	۰,۶۵	۱,۶۶	-۰,۵۰
Tm	۰,۲۸	۰,۲۲	۰,۱۹	۰,۲۳	۰,۳۳	-۰,۱۲
Yb	۰,۸۱	۰,۶۲	۰,۲۶	۰,۵۶	۱,۲۶	-۰,۴۴
Lu	۰,۲۳	۰,۲۱	۰,۱۶	۰,۲۰	۰,۲۸	-۰,۰۹

سنگ‌های نیمه نفوذی: سنگ‌های نیمه نفوذی با ترکیب تونالیت، کوارتز مونزونیت تا کوارتز مونزودیوریت، به صورت زائده آپوفیز درون سنگ‌های آتشفشانی جای دارند که در بخش‌های شمال منطقه بیشتر در اعماق ۱۰ تا ۴۰ متری مغزه‌های حفاری دیده می‌شوند (گمانه‌های BH1, BH6, BH7). کانی‌های اصلی شامل پلاژیوکلاز شکل‌دار تا نیمه شکل‌دار و ریز بلور و کانی‌های فرومنیزین (پیروکسن دگرسان شده) هستند. بافت‌های جانشینی پلاژیوکلازها با کانی‌های ثانویه از جمله سریسیت، کلسیت، اپیدوت و نیز کلریت برآمده از دگرسانی کانی‌های فرومنیزین (پیروکسن) دیده می‌شوند. بافت این واحد سنگی ریزسنگی پورفیری تا دانه‌ای است.

دگرسانی و کانی‌زایی

بر پایه روابط صحرایی و بررسی‌های سنگ‌نگاری، دگرسانی‌های گرمابی به دو صورت جانشینی کانی-های پیشین و یا نهشت مستقیم در فضاها و خالی و شکستگی‌ها رخ داده‌اند. دگرسانی پروپلیتیک بطور فراگیر در سنگ‌های آندزیتی و نیمه نفوذی دیده می‌شود. روند عمومی گسترش این دگرسانی به صورت نامنظم بوده و شدت آن به تراکم رگچه‌ها و درزه‌ها در منطقه وابسته است [۵] (شکل‌های ۳ الف و ب). مجموعه کانی‌های مشخصه پهنه دگرسانی پروپلیتیک شامل کلریت (جانشین کانی‌های مافیک و در راستای رخ آنها)، اپیدوت (جانشین مرکز پلاژیوکلازهای دارای منطقه‌بندی) و کلسیت به همراه مقادیری سریسیت و پیریت است. دگرسانی‌های درونزاد مخرب فلدسپارها در شکل‌های کوارتز-سرسیت-پیریت (سرسیتی)، سیلیسی و آرژیلیکی (محدود) سبب روپوشی مجموعه کانی‌های سنگ میزبان و دگرسانی گرمابی اولیه در منطقه شده است. تشکیل چنین دگرسانی در ارتباط با کاهش دما و $a(H^+)$ در سیال گرمابی است [۶]. دگرسانی سریسیتی بصورت محلی و در ارتباط با سنگ‌های آندزیتی مربوط به کانه‌زایی گسترش یافته که با فاصله گرفتن از پهنه کانه‌دار از شدت آن کاسته شده است و اغلب در همراهی برش‌های گرمابی با رگه - رگچه‌های دربردارنده کانه‌زایی کالکوسیت دیده می‌شود (شکل ۳ ت). این نوع دگرسانی‌ها از شکستگی‌ها، سامانه درزها و گسل‌های منطقه پیروی می‌کنند. افزون بر تشکیل فازهای سیلیکاتی (سرسیت، کانی‌های رسی) در رخنمون‌های سطحی منطقه اکسیده پرداد، رگچه‌های سولفیدی به اکسیدهای آهن به رنگ قرمز قهوه‌ای تبدیل شده‌اند.

کانه‌زایی در منطقه پرداد به صورت رگه‌ای - رگچه‌ای در سنگ‌های آتشفشانی آندزیتی، تراکی آندزیتی و بطور محدود بصورت داریستی (درون برش‌های گرمابی) رخ داده که با شکستگی‌ها، پهنه‌های برشی و گسل کنترل شده است (شکل-های ۳ ب تا ت). کانی‌های درونزاد ماده معدنی شامل بورنیت، کالکوسیت، کالکوپیریت، مالاکیت، آزوریت و مس طبیعی (به مقدار کم) هستند. کانی سازی سطحی بیشتر به صورت کانی-های اکسیدی مالاکیت و آزوریت است، اما کانی‌سازی عمقی در مغزه‌های حفاری بصورت کالکوسیت و بورنیت رگچه‌ای با رنگ سیاه تا سربی دیده می‌شود (شکل‌های ۳ ث و ج). ضخامت رگه - رگچه‌ها از حدود ۳ میلیمتر تا ۳ - ۴ سانتیمتر متغیر است. حفره‌ها، فضاها و خالی و درزه و شکاف‌های موجود در سنگ میزبان در راستاهای مختلف به صورت شبکه‌های متراکم نامنظم، فضای مناسب برای نفوذ و ورود سیال‌های دربردارنده کانه‌زایی مس را فراهم آورده‌اند. حضور کالکوسیت و بورنیت به همراه دیگر فازهای با نسبت بالای مس به گوگرد و کمبود کالکوپیریت در ذخیره مس پرداد شبیه کانسارهایی چون السولدادو (El Soldado)، مانتوس بلانکوس (Mantos Blancos) و سانتودومینگو (Santo Domingo) با سنگ میزبان آندزیتی در شیلی [۷] و کانسار Hongguleleng درون برش - های گرمابی در چین [۸] به عنوان کانسارهای تیپ مانتو گزارش شده‌اند.

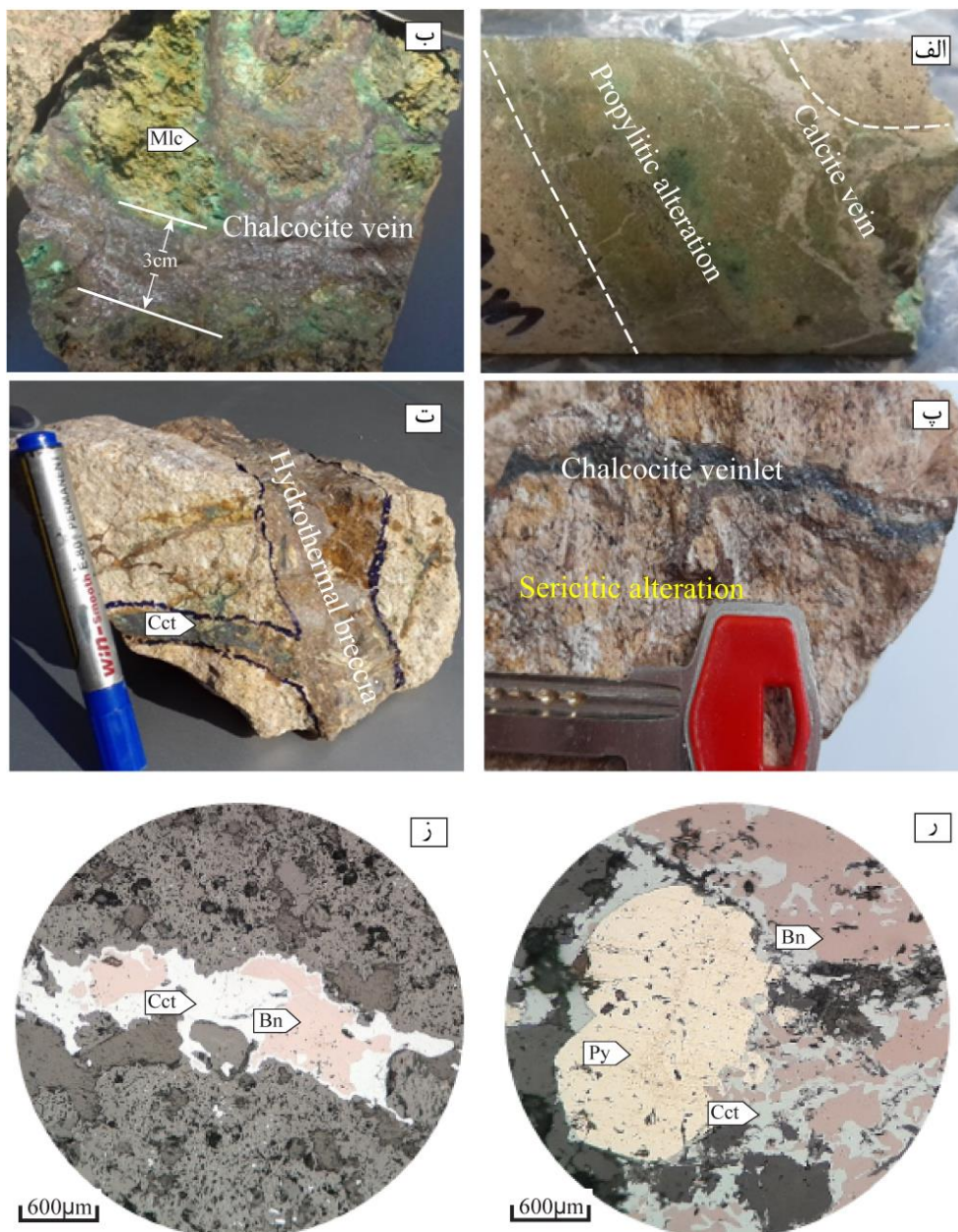
تغییرات جرم در دگرسانی

برای محاسبه‌های موازنه جرم، از نمونه‌های با کمترین دگرسانی (انتخاب شده از گمانه‌ها) از توده نیمه نفوذی و سنگ‌های آتشفشانی استفاده شد. نمونه‌های دگرسانی نیز شامل دگرسانی‌های پروپلیتیک، هماتیتی و سریسیتی هستند. نمونه مرکب شامل ترکیبی از ۴ عدد نمونه (غیردگرسان)، از توده نیمه نفوذی و ۵ نمونه (غیردگرسان) از سنگ‌های آتشفشانی با ترکیب آندزیت بوده که افزایش یا کاهش عناصر نسبت به نمونه مرکب سنجیده شده است، روابط بین سنگ مادر و فراورده‌های دگرسانی براساس افزایش یا کاهش عناصر تعیین می‌شود. برای نخستین گرسنز [۹] روش تحلیل تغییرات جرم طی دگرسانی گرمابی را مطرح کرد که به صورت رابطه زیر بیان شد [۱۰].

$$\Delta C_i / C_i^O = (C_{Al2O3}^O / C_{Al2O3}^A) (C_i^A / C_i^O) - 1 \quad (1)$$

دگرسانی است. نتایج محاسبه‌های تبادلات جرمی و تغییرات غلظت (ΔC) اکسیدهای اصلی و عناصر انتخابی از نمونه‌های مربوط به پهنه‌های دگرسانی مختلف و نمونه‌های غیر دگرسان ذخیره پرداد در جدول‌های ۱ تا ۳ آورده شده است.

در اینجا، C_i^O درصد وزنی اکسید یا عنصر در سنگ سالم، C_i^A درصد وزنی اکسید یا عنصر در سنگ دگرسان، $C_{Al_2O_3}^O$ درصد وزنی Al_2O_3 در سنگ سالم، $C_{Al_2O_3}^A$ درصد وزنی Al_2O_3 در سنگ دگرسان و $\Delta C_i / C_i^O$ تغییرات جرم عنصر یا اکسید طی



شکل ۳ تصاویر ماکروسکوپی و میکروسکوپی از دگرسانی‌های گرمابی و کانی‌زایی در ذخیره پرداد، الف) گسترش دگرسانی پروپلیتیک در دو سوی شکستگی‌های آندزیت با فراوانی کانی‌های کلریت و کلسیت، ب) رگه - رگچه‌های کالکوسیت و آغستگی مالاکیت به همراه دگرسانی پروپلیتیک، پ) دگرسانی فراگیر فیلک با روپوشی محدود آرتزلیک متوسط، پیروی کانی‌سازی سولفیدی از سامانه درز و شکستگی‌ها، ت) برش گرمابی نزدیک دایک دربردارنده کانه‌سازی رگچه‌ای کالکوسیت در شکستگی‌های بین کلسیت‌ها، ث) جانشینی پیریت توسط بورنیت و کالکوسیت و ج) جانشینی بورنیت با کالکوسیت در رگچه. تصاویر میکروسکوپی در نور قطبیده متقاطع (XPL) ثبت شده‌اند. نشانه‌های اختصاری کانی‌ها برگرفته از مرجع [۵] هستند.

پروپیلیتیک به دلیل تشکیل کانه‌های مس چون کالکوسیت، بورنیت، ملاکیت و آزوریت بصورت رگه - رگچه‌ای در این دگرسانی کاملاً آشکار است. غنی‌شدگی سولفید نیز به دلیل تشکیل کانه‌های سولفیدی توجیه می‌شود. عناصر V, Y, Zn ، Cr و Ta طی دگرسانی پروپیلیتیک بدون تغییر مانده‌اند.

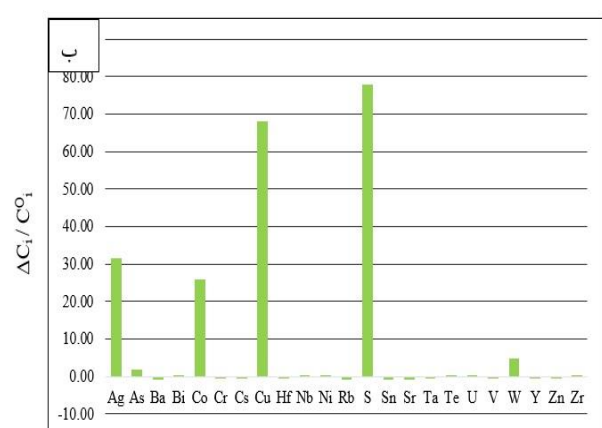
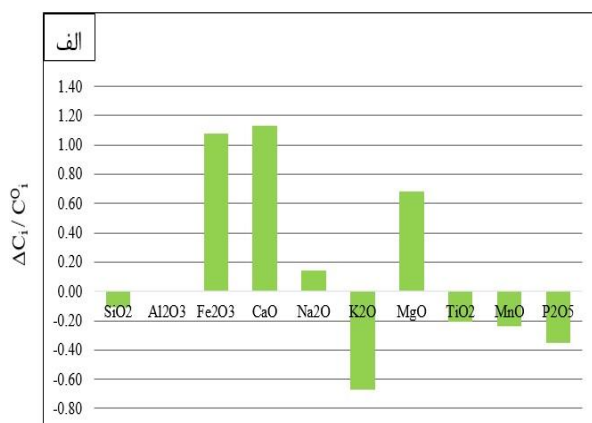
تغییرات جرم اکسیدها و عناصر جزئی در دگرسانی سریستیک

این نوع دگرسانی به صورت موضعی و از نظر شدت ضعیف بوده است، موازنه جرم در دگرسانی سریست با افزایش اکسیدهای SiO_2, TiO_2, Fe_2O_3 همراه است و مقادیر اکسیدهای $CaO, K_2O, Na_2O, MgO, MnO, P_2O_5$ دچار کاهش جرم شده‌اند (شکل ۵ الف، جدول ۲). غنی‌شدگی آهن در دگرسانی سریستیک به علت وجود بیوتیت‌های کلریتی شده است، آهن برآمده از دگرسانی بیوتیت و کانی‌های مافیک با آهن و گوگرد موجود در سیال‌های گرمابی، در دگرسانی سریستیک پیریت تولید می‌نماید، که این باعث غنی‌شدگی Fe_2O_3 در این پهنه شده است. غنی‌شدگی TiO_2 می‌تواند به علت وجود کانی‌های فرعی چون روتیل و اسفن می‌تواند باشد [۱۴]. کاهش اکسیدهای CaO, Na_2O, MgO به علت تجزیه فلدسپارها و کانی‌های مافیک است. اکسید K_2O در پهنه سریستیک اغلب باید غنی‌شدگی نشان دهد، اما کاهش این اکسید دیده شده است. به احتمال بسیار پتاسیم توسط سیال‌های گرمابی به سامانه اضافه نشده بلکه پتاسیم لازم برای تشکیل سریست در نتیجه دگرسانی سایر کانی‌های دارای پتاسیم (مثل پاراگونیت) و آزاد شدن پتاسیم تامین شده است. کاهش P_2O_5 به احتمال بسیار ناشی از تخریب و دگرسانی آپاتیت‌های موجود در سنگ مادر است [۱۵].

تغییرات جرم اکسیدها و عناصر فرعی در دگرسانی پروپیلیتیک

دگرسانی پروپیلیتیک شامل تبادل Ca^{2+} با K^+ و Na^+ بوده و با سیلیس‌زدایی مهم همراه است. موازنه جرم در نمونه‌های دگرسانی پروپیلیتیک نسبت به نمونه مرکب غیر دگرسان دارای غنی‌شدگی Fe_2O_3, MgO, CaO و به مقدار کمتر Na_2O است (شکل ۴ الف، جدول ۱). حضور Fe و Mg در این پهنه دگرسانی ناشی از حضور آمفیبول و کلریتی‌شدن آن‌ها، همچنین غنی‌شدگی آهن در دگرسانی پروپیلیتیک به سبب وجود کانی‌های کلریت، اپیدوت و بیوتیت است. منیزیم در دگرسانی پروپیلیتیک به سبب حضور کلریت غنی‌شدگی دارد. علت غنی‌شدگی کلسیم می‌تواند به علت حضور اپیدوت‌های گرمابی و کلسیت، یا تجزیه پلاژیوکلازها به کانی‌های ثانویه کلسیم‌دار چون اپیدوت و پرهنیت باشد، که این غنی‌شدگی نشانگر عملکرد محلول‌های گرمابی دگرسانی با pH قلیایی نزدیک به خنثی و غنی از CO_2 است [۱۱]. کاهش SiO_2, K_2O, P_2O_5 را می‌توان به حذف کانی‌هایی چون آپاتیت، بیوتیت، پیروکسن، پلاژیوکلاز و فلدسپار نسبت داد.

موازنه جرم عناصر کمیاب در دگرسانی پروپیلیتیک بیانگر غنی‌شدگی از عناصر W, As, Co, S, Ag, Cu است، همچنین عناصر $Sr, Ba, Rb, Cs, Hf, Zr, Ta, Sn$ دچار کاهش نسبی شده‌اند (شکل ۴ ب). پتاسیم در دگرسانی پروپیلیتیک تهی‌شدگی دارد که با انتقال K^+ توسط سیال در نتیجه‌ی دگرسان شدن فلدسپات‌ها و بیوتیت قابل توجیه است [۱۲]. در دگرسانی‌های پروپیلیتیک و سریستیک به سبب دگرسانی فلدسپات‌ها و خروج پتاسیم، مقدار روبیدیم نیز کاهش می‌یابد [۱۳]. Sr و Ba نیز به دلیل همبستگی با پتاسیم در این پهنه دگرسانی کاهش یافته‌اند. بالا بودن مقدار مس در دگرسانی



شکل ۴ الف و ب) نمودار تغییرات جرم (افزایش - کاهش) اکسیدهای اصلی و عناصر جزئی در دگرسانی پروپیلیتیک.

تغییرات جرم در عناصر جزئی دگرسانی سریسیتیک با افزایش عناصر Cu, As, Co, Ni, S, Cs, Zn, Be و کاهش Ba, Sr, Rb, Ta, Te, W, U, Bi و کاهش Ag, V, Cr, Ni, As, Cu, Co, Ni, S, Cs, Zn, Be همراه است (شکل ۵ ب). کاهش عناصر Ba و Sr به علت شستشوی فلدسپارها توسط سیال‌های گرمایی است که این عمل منجر به خارج شدن Ba و Sr از ساختار فلدسپارها می‌شود. باریم در دگرسانی فیلیک تهی‌شدگی دارد. باریم از عناصر با تحرک بالا است که این امر می‌تواند به دلیل ته شدگی آن طی شکسته شدن فلدسپات‌ها به سبب فرآیند دگرسانی باشد [۱۶، ۱۳]. افزایش Co در دگرسانی‌های سریسیتیک و پروپیلیتیک به کاهش شرایط اسیدی محیط اشاره دارد [۱۷]. مقادیر عناصر Y, Zr بدون تغییر بوده و عنصر Nb کمی دچار کاهش شده است. عناصر Y, Nb, Zr از عناصر با شدت میدان بالا (HFSE)، هستند دمای دگرسانی مهمترین عامل در افزایش یا کاهش این عناصر است؛ اگر دمای دگرسانی بالا باشد مقدار این عناصر کاهش می‌یابد [۱۸].

تغییرات جرم اکسیدها و عناصر جزئی در دگرسانی هماتی

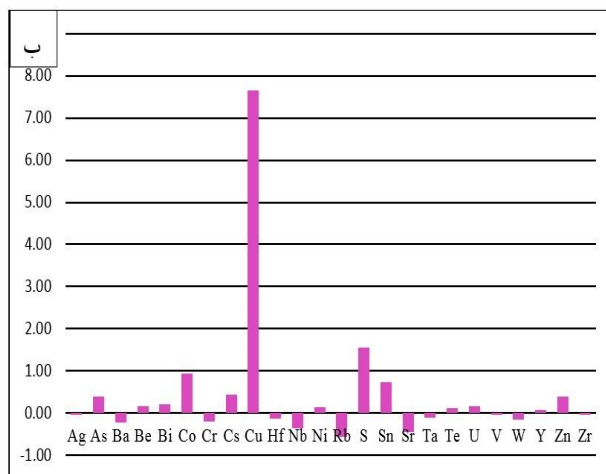
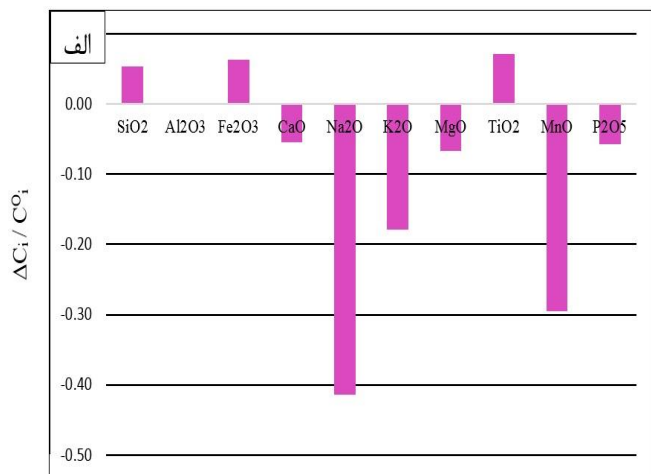
دگرسانی هماتی با سیال‌های اکسیدکننده همراه است که منجر به تشکیل کانی‌های با نسبت Fe^{3+}/Fe^{2+} بالا بویژه هماتیت، همراه با فلدسپار پتاسیم، کلریت، اپیدوت می‌شود [۱۹]. موازنه جرم در دگرسانی هماتی با افزایش اکسیدهای CaO , Fe_2O_3 , Na_2O , K_2O , SiO_2 و کاهش اکسیدهای P_2O_5 , TiO_2 , MnO , MgO همراه است (شکل ۶ الف، جدول ۳). کاهش مقدار سیلیس نتیجه تجزیه کانی‌های پلاژیوکلاز، پیروکسن، الیوین طی واکنش‌هایی چون تشکیل کلریت، اپیدوت است. دگرسانی اکسیدی و تشکیل کانی‌های اکسید آهن چون هماتیت باعث افزایش Fe_2O_3 در نمونه‌های دگرسان شده نسبت به سنگ غیردگرسان می‌شود. تجزیه کانی‌های مافیک با آزاد شدن آهن و رسوب در شرایط اکسیدی همراه است. کاهش P_2O_5 , Na_2O , K_2O , MgO را می‌توان به حذف کانی‌هایی چون آپاتیت، پلاژیوکلاز، فلدسپار پتاسیم و بیوتیت نسبت داد. کاهش Na_2O و K_2O می‌تواند نتیجه شستشوی این عناصر توسط محلول گرمایی و تحرک بالای آن‌ها طی دگرسانی باشد.

تغییرات جرم عناصر با افزایش Ag, V, Cr, Ni, As, Cu, Co, Ni, S, Cs, Zn, Be همراه است (شکل ۶ ب). مقادیر بالای مس و گوگرد در دگرسانی هماتی به دلیل کانه‌زایی سولفیدی مس همراه با این دگرسانی است. افزایش عناصر Co, Ni در دگرسانی هماتی می‌تواند ناشی از پدیده جذب سطحی فلزها بر سطوح کانیایی سولفیدی و اکسیدی باشد. نهشتگی فلزها در اثر جذب سطحی می‌تواند از سیال‌هایی با غلظت زیر سطوح اشباع صورت بگیرد و در نتیجه، این فرآیند ممکن است در محیط‌های کانسنگ‌ساز ویژه‌ای مهم باشد. بطور کلی، یک سطح کانیایی با یک محلول اسیدی که دارای بار مثبت بسیار شامل پروتون (H^+) باشد به احتمال بسیار کمپلکس‌های آنیونی را جذب می‌کند. برعکس، یک سطح کانیایی در تماس با یک محلول قلیایی (با فعالیت بالای OH^-) تمایل برای بار منفی اضافه نشان داده و کاتیون‌ها را جذب می‌کند [۶]. گوتیت یک جاذب سطحی مناسب در شرایط اکسیدی و به نسبت خنثی تا قلیایی است. در شرایط آزمایش اکسند و ویژه و فلزها به ترتیب Cu, Pb, Zn, Co, Ni با pH در حال افزایش مایل به جذب سطحی روی آن هستند [۶]. عنصر Cr در ساختار پیروکسن‌ها حضور دارد. علت غنی‌شدگی کم این عنصر پایداری آن طی دگرسانی است. افزایش جرم عناصر W, Mo می‌تواند به علت تثبیت آنها توسط کانی‌های دارای تیتان چون روتیل، اسفن باشد.

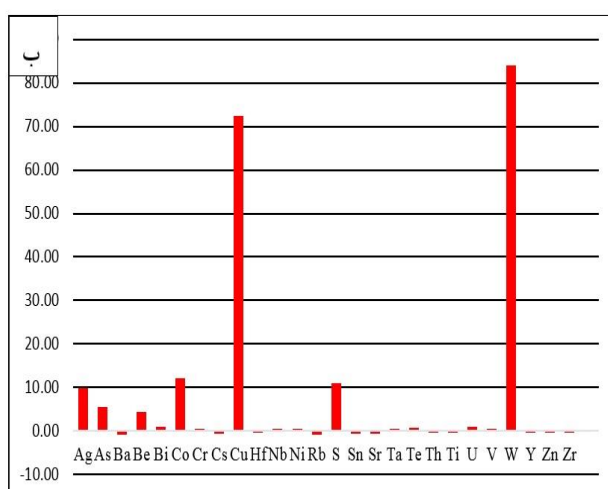
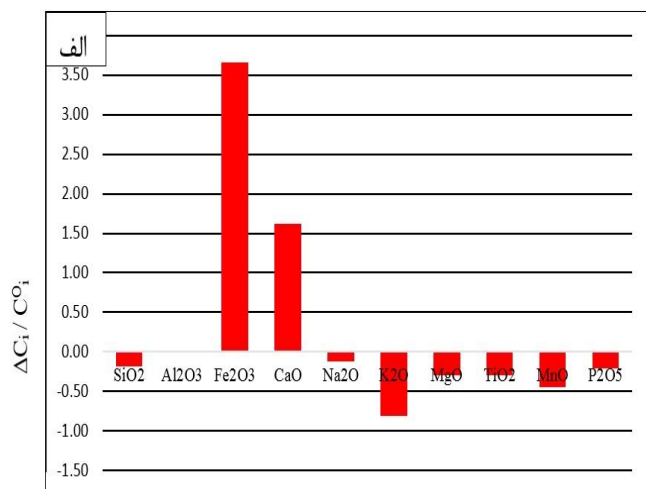
الگوی عناصر خاکی نادر (REE) بهنجار شده نسبت به کندریت در پهنه دگرسانی پروپیلیتیک، نشان‌دهنده غنی‌شدگی عناصر خاکی نادر سبک (LREE)ها نسبت به عناصر خاکی نادر سنگین (HREE)ها است (شکل ۷ الف). تهی‌شدگی HREEها می‌تواند به علت کمپلکس‌های کلریدی و غنی‌شدگی جزئی LREEها می‌تواند به دلیل جذب سطحی توسط کانی‌هایی چون کلریت، اپیدوت و اکسیدهای آهن باشد [۱۳]. الگوی عناصر خاکی نادر سنگ‌های بهنجاره شده نسبت به کندریت در دگرسانی سریسیتیک، دارای روندی شبیه سنگ غیردگرسان (سنگ اولیه) همراه با کاهش از LREEها به سمت HREEهاست (شکل ۷ ب). غنی‌شدگی از LREEها در

LREE تنها La طی دگرسانی غنی‌شدگی بالایی دارد. الگوی تغییرات عناصر خاکی نادر در نمونه‌های با دگرسانی هماتیته نسبت به کندریت کاهش شدید آنها به ویژه HREE را نشان می‌دهد (شکل ۷ پ). تهی‌شدگی عناصر خاکی نادر در دگرسانی هماتیته می‌تواند طی فرآیند برونزاد در اثر واکنش سیال‌ها با سولفیدها (تولید اسید سولفوریک) و اسیدی شدن محلول، همراه با شستشو و کاهش عناصر خاکی نادر رخ داده باشد. همچنین جذب ترجیحی LREE توسط جذب کننده‌ها و روبنده‌هایی چون اکسیدهای آهن (هماتیت و گوئتیت)، باعث تمرکز و جدایش آن‌ها از HREE شده است. هماتیت در pH پایین نیز توانایی تمرکز و جذب REE را دارد [۲۱].

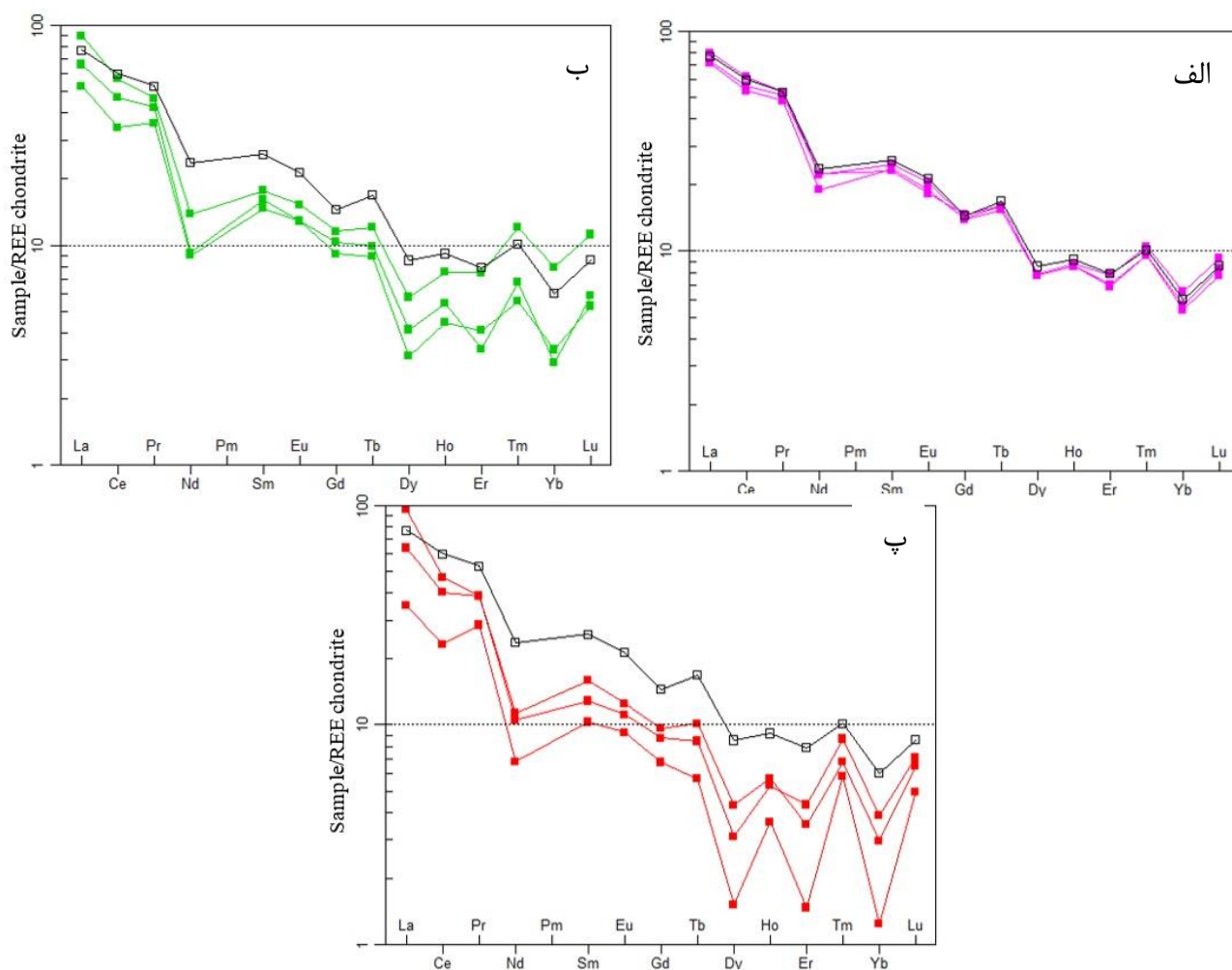
پهنه سریستیک به سبب حضور پیریت بوده که نشان دهنده حضور کمپلکس‌های سولفوری در محلول‌های گرمایی است، کمپلکس‌های سولفاتی می‌توانند سبب غنی‌شدگی LREE ها شوند، زیرا SO_4^{2-} به طور ترجیحی با LREE ها کمپلکس تشکیل می‌دهد [۲۰]. همچنین غنی‌شدگی از LREE ها در دگرسانی سریستیک می‌تواند ناشی از تثبیت این عناصر در کانی‌های اولیه آپاتیت، اسفن و زیرکن باشد که به عنوان کانی میزبان برای این عناصر به شمار می‌روند و طی دگرسانی مقاوم هستند. طی دگرسانی سریستی، تغییرات زیادی در REE ها ایجاد نمی‌شود، چون کانی‌های این پهنه فلدسپار و میکا هستند که REE چندانی ندارند تا طی دگرسانی آزاد نمایند، از



شکل ۵ الف و ب) نمودار تغییرات جرم (افزایش - کاهش) اکسیدهای اصلی و عناصر جزئی در دگرسانی سریستیک.



شکل ۶ الف و ب) نمودار تغییرات جرم (افزایش - کاهش) اکسیدهای اصلی و عناصر جزئی در دگرسانی هماتیته.



شکل ۷ الف) الگوی تغییرات عناصر خاکی نادر دگرسانی پروپیلیتیک بهنجاره شده نسبت به کندریت (ب) الگوی تغییرات عناصر خاکی نادر دگرسانی سیرسیتیک بهنجاره شده نسبت به کندریت (پ) الگوی تغییرات عناصر خاکی نادر دگرسانی هماتیته بهنجاره شده نسبت به کندریت.

$$Ce/Ce^* = 2Ce_N / [(La_N) + (Pr_N)] \quad (۳)$$

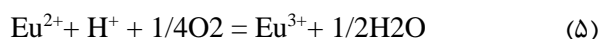
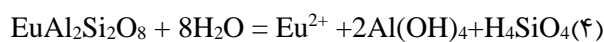
در پهنه دگرسانی پروپیلیتیک، نسبت‌های متوسط $(La/Yb)_n$ برابر با ۱۶/۷۲، و نسبت‌های میانگین $(La/Sm)_n$ و $(Gd/Yb)_n$ به ترتیب برابر با ۴/۲۴ و ۲/۵۸ هستند، میانگین نسبت‌های عنصری $(La/Yb)_n$ ، $(La/Sm)_n$ و $(Gd/Yb)_n$ در سنگ‌های سالم (غیردگرسان) به ترتیب برابر با ۱۲/۷۴، ۲/۹۸ و ۲/۴۰ هستند. این مقادیر نشان‌دهنده غنی‌شدگی نسبت‌های عنصری $(La/Yb)_n$ و $(La/Sm)_n$ بوده در حالیکه مقدار $(Gd/Yb)_n$ گویای تغییر جزئی یا به بیانی بدون جدایش عناصر است. مقادیر بالای $(La/Yb)_n$ و $(La/Sm)_n$ در این پهنه دگرسانی نشان‌دهنده جدایش بیشتر LREE نسبت به HREE، و غنی‌شدگی از LREE است. میانگین نسبت‌های عنصری

توزیع نسبت‌های عنصری عناصر خاکی نادر طی دگرسانی

برای تعیین توزیع احتمالی عناصر خاکی نادر (جدایش LREE نسبت به HREE) در دگرسانی‌ها از نسبت $(La/Yb)_n$ ، همچنین برای بررسی جدایش LREE، HREE به ترتیب از نسبت‌های $(La/Sm)_n$ و $(Gd/Yb)_n$ استفاده شد. نسبت‌های این عناصر محاسبه شده و در جدول ۴ آمده است. نسبت Eu/Eu^* معیاری برای ناهنجاری Eu است، به طوری که نسبت بزرگتر از ۱، نشانگر ناهنجاری‌های مثبت و نسبت کمتر از ۱ بیانگر ناهنجاری‌های منفی هستند [۲۲]. نسبت‌های Eu/Eu^* و Ce/Ce^* برای بررسی رفتار این عناصر در دگرسانی با روابط زیر محاسبه شدند.

$$Eu/Eu^* = Eu_N / [(Sm_N) \times (Gd_N)]^{0.5} \quad (۲)$$

محاسبه نسبت‌های عنصری Eu/Eu^* و Ce/Ce^* در پهنه-های دگرسانی به ترتیب نشان‌دهنده ناهنجاری مثبت ($Eu/Eu^* > 1$) و منفی ($Ce/Ce^* < 1$) آنهاست (جدول ۴ و شکل ۸). ناهنجاری مثبت Eu/Eu^* می‌تواند در ارتباط با دگرسانی‌های پروپلیتیک (کلریتی) و سریسیتی کانی‌های سیلیکاتی سنگ [۲۳]، همچنین حضور کانی‌های مافیک (آمفیبول و بیوتیت) و اکسیدهای آهن باشد [۲۴]. بر پایه واکنش‌های زیر، Eu ، به صورت Eu^{3+} اکسید و نامتحرك شده و در محیط باقی می‌ماند [۲۳].

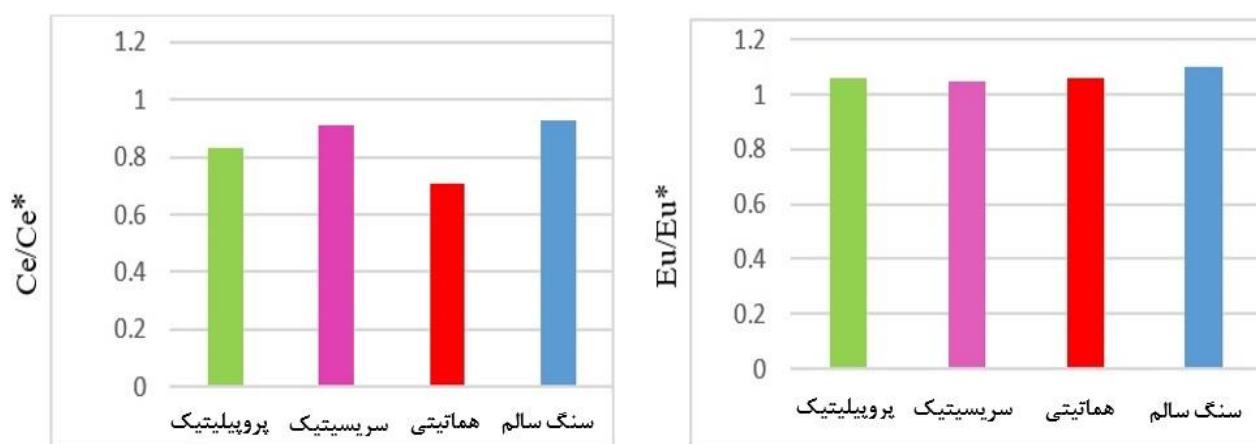


نسبت‌های عنصری Ce/Ce^* در نمونه‌های دگرسان تقریباً مشابه (بین ۰/۷۱ تا ۰/۹۱) و کمی پایین‌تر از سنگ‌های غیردگرسان (۰/۹۳) است (شکل ۸). مقادیر کمتر Ce/Ce^* نشان‌دهنده شسته‌شدن Ce با ظرفیت ۳+ از محیط است. در شرایط بازی محلول‌های گرمایی، عنصر Ce با لیگاندهای کربنات تشکیل کمپلکس داده که باعث تحرک، شستشوی آن و ناهنجاری منفی Ce می‌شود.

$(La/Yb)_n$ ، $(La/Sm)_n$ و $(Gd/Yb)_n$ در دگرسانی سریسیتیک به ترتیب برابر با ۱۲/۶۸، ۳/۱۳ و ۲/۴۲ هستند. نسبت‌های عنصری $(La/Yb)_n$ ، $(La/Sm)_n$ و $(Gd/Yb)_n$ در این پهنه نزدیک به مقادیر سنگ‌های سالم بوده که نشان‌دهنده جدایش نیافتگی یا جدایش جزئی عناصر خاکی نادر است. نسبت‌های $(La/Yb)_n$ ، $(La/Sm)_n$ و $(Gd/Yb)_n$ در نمونه‌های با دگرسانی هماتیته به ترتیب برابر با ۲۴/۷۲، ۴/۹۳ و ۳/۶۵ هستند. مقایسه نسبت‌های $(La/Yb)_n$ ، $(La/Sm)_n$ و $(Gd/Yb)_n$ در دگرسانی هماتیته با این نسبت‌ها در سنگ‌های سالم نشان‌دهنده جدایش شدید این عناصر طی دگرسانی هماتیته است. نسبت عنصری $(La/Yb)_n$ در دگرسانی‌های هماتیته نسبت به دگرسانی پروپلیتیک و سریسیتیک بسیار بالا بوده که نشان‌دهنده جدایش شدید بین LREE ها با HREE است. به بیانی، تفکیک و جدایش طی دگرسانی هماتیته باعث غنی-شدگی LREE ها و تهی‌شدگی HREE ها شده است. روبش یا جذب عناصر خاکی نادر (REE) توسط اکسیدها و هیدروکسیدهای آهن یک پدیده رایج در سامانه‌های دگرسانی است [۲۱].

جدول ۴ نسبت‌های عنصری محاسبه شده برای سنگ‌های دگرسان شده و سنگ سالم در منطقه مس پرداد.

شماره نمونه	پهنه دگرسانی	La/Yb	La/Sm	Gd/Yb	Eu/Eu*	Ce/Ce*
PA-P-01	پروپلیتیک	۱۱/۳۶	۵/۰۳	۱/۴۶	۱/۰۶	۰/۸۴
PA-P-02	پروپلیتیک	۱۵/۹۴	۳/۵۹	۲/۷۳	۱/۱۰	۰/۷۸
PA-P-03	پروپلیتیک	۲۲/۸۷	۴/۱	۳/۵۶	۱	۰/۸۷
CA-C-01	سریسیتیک	۱۳/۳۶	۲/۹۱	۲/۶۰	۱/۱۰	۰/۹۱
CA-C-02	سریسیتیک	۱۲/۱۶	۳/۴۴	۲/۲۳	۰/۹۹	۰/۹۳
CA-C-03	سریسیتیک	۱۲/۵۲	۳/۰۳	۲/۴۴	۱/۰۵	۰/۹۰
HA-H-01	هماتیته	۲۴/۶۴	۷/۴۲	۲/۲۵	۱/۰۵	۰/۷۰
HA-H-02	هماتیته	۲۱/۵۳	۴	۳/۲۵	۱/۰۱	۰/۷۰
HA-H-03	هماتیته	۲۵	۳/۳۸	۵/۴۵	۱/۱۱	۰/۷۳
	سنگ سالم	۱۲/۴۷	۲/۹۸	۲/۴۰	۱/۱۰	۰/۹۳



شکل ۸. مقادیر میانگین نسبت های عنصری Eu/Eu^* و Ce/Ce^* (به‌نحاره شده نسبت به کندریت) در نمونه‌های برآمده از دگرسانی.

برداشت

بیشتر سنگ‌های منطقه مس پرداز سنگ‌های آتشفشانی شامل آندزیت، تراکی آندزیت و پیروکسن آندزیت هستند که واحدهای نیمه نفوذی به صورت استوک با گسترش کم در عمق (گمانه‌ها) دیده می‌شوند. براساس بررسی‌های صحرایی و میکروسکوپی دگرسانی‌های پروپلیتیک (به صورت ناحیه‌ای)، سریسیتیک و هماتیتی به طور محلی در منطقه وجود دارند. تغییرات جرم در منطقه مس پرداز با فرض ثابت بودن آلومینیم طی دگرسانی و براساس فرمول گرانت، محاسبه شد. موازنه جرم در نمونه‌های با دگرسانی پروپلیتیک نشانگر غنی‌شدگی CaO , MgO , Fe_2O_3 و عناصر W , AS , Co , S , Ag , Cu است. دگرسانی سریستی با افزایش اکسیدهای TiO_2 , Fe_2O_3 , SiO_2 همراه است و مقادیر اکسیدهای CaO , K_2O , Na_2O , MgO , MnO , P_2O_5 دچار کاهش جرم شده‌اند. تغییرات جرم در عناصر جزئی دگرسانی سریسیتیک با افزایش عناصر Cu , As , Co , Ni , S , Cs , Zn , Be و کاهش عناصر Rb , Sr , Ba همراه است. کاهش عناصر Ba و Sr به علت شستشوی فلدسپارها توسط سیال‌های گرمابی است که به خارج شدن Ba و Sr از ساختار فلدسپارها منجر می‌شود. دگرسانی هماتیتی با افزایش اکسیدهای CaO , Fe_2O_3 و کاهش اکسیدهای SiO_2 , K_2O , Na_2O , MgO , MnO , P_2O_5 , TiO_2 همراه است همچنین تغییرات جرم با افزایش

عناصر Co , Cu , As , Ni , Cr , V , Ag , S , Be و کاهش عناصر Ba , Cs , Rb , Sr , Sn در دگرسانی هماتیتی همراه است. الگوی عناصر خاکی نادر (REE) به‌نحاره شده نسبت به کندریت در پهنه دگرسانی پروپلیتیک، نشان دهنده غنی‌شدگی LREE نسبت به HREE است، تهی‌شدگی HREE می‌تواند به علت کمپلکس‌های کلریدی و غنی‌شدگی جزئی LREEها به دلیل جذب سطحی توسط کانی-هایی چون کلریت، اپیدوت و اکسیدهای آهن باشد. الگوی عناصر خاکی نادر سنگ‌های به‌نحاره شده نسبت به کندریت در دگرسانی سریسیتیک، روندی شبیه سنگ غیردگرسان (سنگ اولیه) همراه با کاهش از LREEها به سمت HREEها را نشان می‌دهند، غنی‌شدگی از LREEها در دگرسانی سریسیتیک می‌تواند ناشی از تثبیت این عناصر در کانی‌های اولیه آپاتیت، اسفن و زیرکن باشد که به عنوان کانی میزبان برای این عناصر به شمار می‌روند و طی دگرسانی مقاوم هستند. تغییرات عناصر خاکی نادر در نمونه‌های دگرسانی هماتیتی نسبت به کندریت کاهش شدید آنها به ویژه عناصر خاکی نادر سنگین (HREE) را نشان می‌دهد. مقادیر بالای $(La/Yb)_n$ و $(La/Sm)_n$ در پهنه دگرسانی پروپلیتیک نشان‌دهنده جدایش بیشتر LREE نسبت به HREEها، و غنی‌شدگی از LREEهاست. نسبت‌های عنصری $(La/Yb)_n$, $(La/Sm)_n$ و $(Gd/Yb)_n$ در دگرسانی سریسیتیک به مقادیر تقریباً نزدیک سنگ‌های سالم بوده که

- [2] White N.C., Hedenquist J.F., Epitherma Gold Deposits: styles, characteristics, and exploration. SEG Newsletter 23 (1995) 9-13.
- [3] Michard A., "Rare earth element systematics in hydrothermal fluid", *Geochimica et Cosmochimica Acta* 53 (1989) 745-750.
- [4] Radfer J., Kohansal R., "1:100000 Geological map of Davarzen" Geological and mineralogical exploration survey of Iran, (2002).
- [5] Whitney D. L., Evans B. W., "Abbreviations for names of rock-forming minerals" *American Mineralogist* 95 (2010) 185-187.
- [6] Robb L., "Introduction to ore forming process". Black Well publishing company. Malden, MA (2005) 375.
- [7] Kojima S., Trista Aguilera D. Hayashi K. I., "Genetic aspects of the Manto-type copper deposits based on geochemical studies of north Chilean deposits". *Resource Geology*, 59 (2007) 87-98.
- [8] Shen, P., Pan, H., Lie, Z., Sun, J., Shen, Y., Lia, C., Feng, H., Cao, C., "A Manto – Type Cu deposit in the central Asian Orogenic Belt: The Hongguleleng example (Xingiang, Chaina)". *Ore Geology Reviews*, 124 (2020) 103656.
- [9] Gresens R.L., "Composition-volume relationships of metasomatism", *Chemical Geology*, 2 (1967) 47 – 65.
- [10] Grant J.A., "Isocon Analysis: A Brief Review of the Method and Applications", *Physics and Chemistry of the Earth*, 30 (2005) 997-1004.
- [11] Hedenquist J.W., Arribas A.Jr., GonzalezUrín E., "Exploration for epithermal gold deposits", *Reviews in Economic Geology*, 13 (2000) 245 – 277.
- [12] Meyer A., Hemley J.J., "Wall rock alteration in Geochemistry of hydrothermal ore deposits", *Economic Geology*, (1967) 166 – 235.
- [13] Fulignati P., Gioncada A., Sbrana A., "Rare Earth Element (REE) behaviour in the alteration facies of the active magmatic- hydrothermal system of volcano (Aeolian Islands, Italy)". *Journal of Volcanology and Geothermal Research*, 88 (1998) 325 – 342.

نشان دهنده جدایش نیافتن یا جدایش جزئی در عناصر خاکی نادر است. مقایسه نسبت‌های عناصر $(La/Sm)_n$ ، $(La/Yb)_n$ و $(Gd/Yb)_n$ در دگرسانی هماتی با این نسبت‌ها در سنگ‌های سالم نشان‌دهنده جدایش شدید این عناصر طی دگرسانی هماتی است. نسبت عنصری $(La/Yb)_n$ در دگرسانی هماتی نسبت به دگرسانی‌های پروپیلیتیک و سریستیک بسیار بالا بوده که نشان دهنده جدایش شدید بین LREE ها با HREE ها است. به بیانی، تفکیک و جدایش طی دگرسانی هماتی باعث غنی‌شدگی LREE ها و تهی‌شدگی HREE ها شده است. جذب عناصر خاکی نادر توسط اکسیدها و هیدروکسیدهای آهن یک پدیده معمول در سامانه‌های دگرسانی است. نسبت‌های عنصری Eu/Eu^* و Ce/Ce^* در پهنه‌های دگرسانی به ترتیب نشان‌دهنده ناهنجاری مثبت $(Eu/Eu^* > 1)$ و منفی $(Ce/Ce^* < 1)$ آنهاست. ناهنجاری مثبت Eu/Eu^* می‌تواند در ارتباط با دگرسانی‌های پروپیلیتیک (کلریتی) و سریستی کانی‌های سیلیکاتی همچنین حضور کانی‌های مافیک (آمفیبول و بیوتیت) و اکسیدهای آهن باشد. مقادیر کمتر Ce/Ce^* نشان دهنده شسته‌شدن Ce با ظرفیت +۳ از محیط است. در شرایط بازی محلول‌های گرمابی، عنصر Ce با لیگاند‌های کربنات تشکیل کمپلکس داده که باعث تحرک و ناهنجاری منفی Ce می‌شود.

قدردانی

از معاونت پژوهش و تحصیلات تکمیلی دانشگاه تبریز بدلیل حمایت‌های مالی قدردانی می‌شود. نویسندگان همچنین از نظرات و پیشنهادات سازنده داوران محترم مجله سپاسگزاری می‌نمایند.

مراجع

- [1] Giffkins C., Herrmann W., Large R., "Altered Volcanic Rocks: A guide to description and interpretation. University of Tasmania", Center for Ore Deposits and Exploration Studies, Hobart (2005) 287.

- complex, north eastern Canada*", Geochim. Cosmochim. Acta, 60 (1996) 1917 – 1932.
- [19] Pirajno F., "*Hydrothermal Processes and Mineral Systems*", Springer- Pub, (2009) 1250.
- [20] Rolland Y., Cox S., Boullier A.M., Pennacchioni G., Mancktelow N., "*Rare earth and trace element mobility in mid-crustal shear zones: insights from the Mont Blanc Massif (Western Alps)*", Earth Planet Scientific Letters, 214 (2003) 203-219.
- [21] Otha A., Kawabe I., "*REE absorbtion on to Mn dioxide (α -MnO₂) and Fe oxyhydroxide: Ce(III) oxidation by α -MnO₂*", Geochimica et Cosmochimica Acta, 65 (2001) 695 – 703.
- [22] Rollinson H.R., "*Using geochemical data: evaluation, presentation, interpretation*", pearson – prentice Hall, London, (1993) 352.
- [23] Sverjensky D.A., "*Europium redox equilibria in aque- ous solutions*", Earth and Planetary Science Letters, 67 (1984) 70–78.
- [24] Henderson P., "*Rare Earth Element Geochemistry, Department of Mineralogy*", British Moseum, London, U. K, (1984) 511.
- [14] Guilbert J., Park C.F., "*The geology of ore deposits*". W. H. Freeman and company Pub. New York, (1997) 985.
- [15] Gouveia M.A., Purdencio M.I., Figueiredo M.O., Pereira L.C.J., Waerendborgh J.C., Morgado I., Pena T., Lopez A., "*Bihaviour of REE and other trace and major elements during weathering of grenitic rocks, Evora, Potrugal*". Chemical Geology, 107 (1993) 293 – 298.
- [16] Heald P., Foley N.K., Hayba D.O., "*Comparative Anatomy of Volcanic-Hosted Epithermal Deposit: Acid-Sulfate and Adularia-Sericite Type*", Economic Geology, 82 (1987) 1-26.
- [17] Pokrovsky O.S., Schott J., Dupre B., "*Trace element fractionation and transport in boreal rivers and soil porewaters of permafrost dominated basaltic terrain in Central Siberia*", Geochimica et Cosmochimica Acta, 70 (2006) 3239 – 3260.
- [18] Salvi S., Williams Jones A.E., "*The role of hydrothermal processes in concentrating high field strength elements in the Strange Lake peralkaline*